

1003-7713/2000/02-0238-05

# CrO<sub>x</sub> 在 ZrO<sub>2</sub> 上的分散状态 及其 CO 还原 NO 性能的研究

王月娟<sup>a,b</sup> 周仁贤<sup>a\*</sup> 郑小明<sup>a</sup>

(a. 浙江大学西溪校区催化研究所 杭州 310028)

(b. 浙江师范大学化学系 金华 321004)

**摘要:** 利用 XRD 和 BET 等物理技术研究了 CrO<sub>x</sub> 对 ZrO<sub>2</sub> 的抗烧结性能及 Cr 的分散状态。结果表明, CrO<sub>x</sub> 是良好的 ZrO<sub>2</sub> 抗烧结剂, 会抑制 ZrO<sub>2</sub> 晶型从无定形 → 四方 → 单斜的相变过程; CrO<sub>x</sub> 与 ZrO<sub>2</sub> 之间的强相互作用还有利于 CrO<sub>x</sub> 在 ZrO<sub>2</sub> 表面上的分散。NO 的 TPD-MS 实验表明, NO 在 CrO<sub>x</sub>/ZrO<sub>2</sub> 表面存在两种与 ZrO<sub>2</sub> 作用强弱不同的吸附态, 在程序升温脱附过程中发生了 NO 的离解反应, NO+CO 的反应实验表明, 反应过程中存在中间产物 N<sub>2</sub>O, 低温有利生成 N<sub>2</sub>O 而高温有利于转化成 N<sub>2</sub>。

**关键词:** 铬氧化物; 氧化锆; 一氧化氮; 程序升温脱附

中图分类号: O643.3

文献标识码: A

## 1 前言

SiO<sub>2</sub> 和 Al<sub>2</sub>O<sub>3</sub> 负载氧化铬的催化剂具有重要的催化性能<sup>[1,2]</sup>, 如对烃类的加氢、脱氢、脱氢环化及烯烃聚合等都具有高的催化活性, CrO<sub>x</sub>/γ-Al<sub>2</sub>O<sub>3</sub> 催化剂也可用于完全氧化和 CO 还原 NO 的催化剂, ZrO<sub>2</sub> 是一种较特殊的载体, 具有酸、碱及还原、氧化性能, 近几年来, 它曾被广泛研究; 已有研究表明 ZrO<sub>2</sub> 负载过渡金属氧化物具有较高的 CO 氧化活性<sup>[3]</sup>, 且能阻止四方相 ZrO<sub>2</sub> 向单斜相的转变过程, 尤其 CrO<sub>x</sub> 具有对 ZrO<sub>2</sub> 载体良好的抗烧结性能<sup>[4]</sup>, 在本文的实验中也得到了证实。本文研究了 CrO<sub>x</sub> 在 ZrO<sub>2</sub> 上的分散状态及对 ZrO<sub>2</sub> 的抗烧结性能, 同时选择汽车尾气净化中最主要的三个反应之一“CO+NO”作为本文的模型反应, 用微反技术考察了 CrO<sub>x</sub>/ZrO<sub>2</sub> 催化剂对 CO+NO → (1/2)N<sub>2</sub>+CO<sub>2</sub> 的反应活性及中间产物的生成, 并运用 TPD-MS 技术研究了 NO 在 CrO<sub>x</sub>/ZrO<sub>2</sub> 催化剂表面的脱附性能及脱附过程中产物的生成情况。

## 2 实验部分

### 2.1 催化剂制备

\* 通讯联系人  
数据

收稿日期: 1999-05-20; 修回日期: 1999-12-03.

Zr(OH)<sub>4</sub>浸吸计量的Cr(NO<sub>3</sub>)<sub>3</sub>水溶液,放置过夜后低温烘干,500℃焙烧3 h。Cr负载量为0、4.0%、8.0%和16% (质量百分数), ZrO<sub>2</sub>和8.0%Cr/ZrO<sub>2</sub>催化剂再在800℃焙烧2 h。

## 2.2 催化剂表征

XRD分析在Rigaku-D/max-III B型全自动X射线衍射仪上进行,以CuK $\alpha$ 为靶源,BET表面积由低温N<sub>2</sub>吸附测定。NO的TPD-MS实验在改装的ZHD-01S型色质联用仪上进行。在NO吸附前,样品在He气流中300℃预处理0.5 h,降至50℃后脉冲注入4 mL NO;在NO吸附后,He气流再吹扫0.5 h后开始程序升温;升温速率为15℃/min,温度范围为50~700℃。

## 2.3 NO+CO反应性能测定

催化反应在固定床流动体系内进行,空速10000 h<sup>-1</sup>。反应气组成为: NO 5.9%、CO 2.9%,其余为He,反应气组成用气相色谱仪分析,色谱填充柱为5A分子筛和13X分子筛。

## 3 结果与讨论

### 3.1 催化剂的比表面积和物相分析

图1为Cr负载量不同的CrO<sub>x</sub>/ZrO<sub>2</sub>样品的XRD图谱。从图1(A)可以看出,单纯ZrO<sub>2</sub>样品以单斜相(*m*-ZrO<sub>2</sub>)为主,并含有少量的四方相(*t*-ZrO<sub>2</sub>),随着Cr负载量增加,*m*-ZrO<sub>2</sub>相逐渐减少,而*t*-ZrO<sub>2</sub>相显著地增加;当Cr负载量达到8%时,仅存在*t*-ZrO<sub>2</sub>相。但进一步提高Cr负载量时,*t*-ZrO<sub>2</sub>相衍射峰变弱并趋向弥散,表明*t*-ZrO<sub>2</sub>的晶粒变小,同时在16%Cr/ZrO<sub>2</sub>样品中出现Cr<sub>2</sub>O<sub>3</sub>相的衍射峰。单纯ZrO<sub>2</sub>和8%Cr/ZrO<sub>2</sub>样品经800℃焙烧后(见图1(B)),CrO<sub>x</sub>/ZrO<sub>2</sub>样品中有部分*t*-ZrO<sub>2</sub>相转变为*m*-ZrO<sub>2</sub>,但仍以*t*-ZrO<sub>2</sub>相为主,而纯ZrO<sub>2</sub>样品中仅存在*m*-ZrO<sub>2</sub>相。这表明,Cr的存在抑制了载体ZrO<sub>2</sub>从无定形→*t*-ZrO<sub>2</sub>→*m*-ZrO<sub>2</sub>的相变过程。

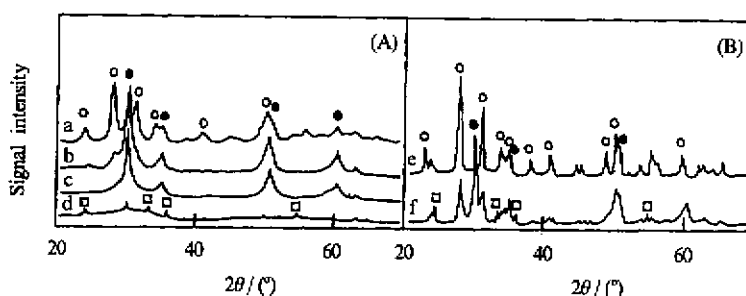


图1 催化剂经500℃(A)和800℃(B)焙烧后的XRD谱图

Fig. 1 XRD patterns of catalysts calcined at 500 °C (A) and 800 °C (B)

- a. ZrO<sub>2</sub>; b. 4%Cr/ZrO<sub>2</sub>; c. 8%Cr/ZrO<sub>2</sub>; d. 16%Cr/ZrO<sub>2</sub>; e. ZrO<sub>2</sub>(800 °C);
  - f. 8%Cr/ZrO<sub>2</sub>(800 °C).
- *m*-ZrO<sub>2</sub>; ● *t*-ZrO<sub>2</sub>; □ Cr<sub>2</sub>O<sub>3</sub>

各样品的BET结果(见表1)与其XRD的结果是一致的,表1表明随着Cr负载量增加,CrO<sub>x</sub>/ZrO<sub>2</sub>样品的比表面积显著增加;但当Cr负载量达到16%时,CrO<sub>x</sub>/ZrO<sub>2</sub>样品的比表面积又显著下降,这是由于比表面较小的Cr<sub>2</sub>O<sub>3</sub>对CrO<sub>x</sub>/ZrO<sub>2</sub>样品的表面积贡献增大的结果。800℃焙烧后CrO<sub>x</sub>/ZrO<sub>2</sub>和ZrO<sub>2</sub>样品的表面积均明显下降,但CrO<sub>x</sub>/ZrO<sub>2</sub>样品的表面积仍比

纯  $ZrO_2$  要大得多, 这进一步表明  $CrO_x$  是良好的  $ZrO_2$  抗烧结剂。

表 1  $CrO_x/ZrO_2$  催化剂的比表面积数据  
Table 1 Surface area of  $CrO_x/ZrO_2$  catalysts

Catalysis	$ZrO_2$	4.0%Cr/ $ZrO_2$	8.0%Cr/ $ZrO_2$	16%Cr/ $ZrO_2$	$ZrO_2$	8.0%Cr/ $ZrO_2$
Calcination temperature	500 °C	500 °C	500 °C	500 °C	800 °C	800 °C
Surface area / $m^2 g^{-1}$	92.6	118.5	171.7	118.8	9.6	35.6

### 3.2 催化剂的 NO-TPD 结果

图 2 为纯  $ZrO_2$  上的 NO-TPD 谱图。从图上可以看出, 在程序升温过程中, NO、 $N_2O$ 、 $O_2$  和  $N_2$  物种被检测到,  $N_2O$ 、 $N_2$  和  $O_2$  的脱附温区与 NO 的很一致, 这表明部分 NO 吸附物种在程脱过程中发生了离解反应。NO 在 100~250 °C 和 350~600 °C 存在两个脱附峰, 表明  $ZrO_2$  表面存在两种与其作用不同的 NO 吸附物种。

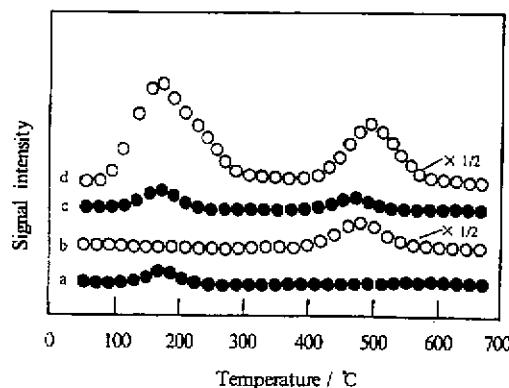


图 2  $ZrO_2$  上的 NO-TPD 谱图

Fig. 2 TPD-MS of NO on  $ZrO_2$   
*m/e*: a.  $N_2O$  44; b.  $O_2$  32; c.  $N_2$  28; d. NO 30

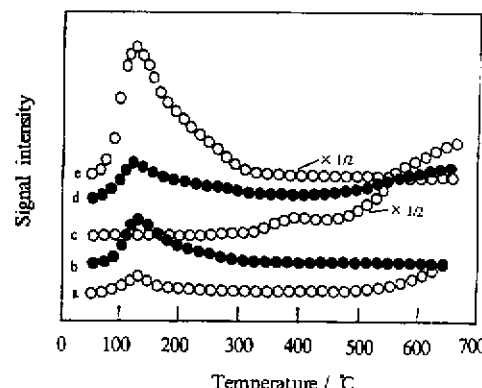


图 3 8%Cr/ $ZrO_2$  上的 NO-TPD 谱图

Fig. 3 TPD-MS of NO on 8%Cr/ $ZrO_2$   
a.  $N_2O$ ; b.  $NO_2$  (*m/e*=46); c.  $O_2$ ; d.  $N_2$ ; e. NO

图 3 是 8%Cr/ $ZrO_2$  样品上的 NO-TPD 谱图。结果表明, 在程序升温过程中, 除存在 NO、 $N_2O$ 、 $N_2$  和  $O_2$  脱附物种外, 在 50~350 °C 还发现  $NO_2$  物种; 在 300 °C 以上的温区内出现二个  $O_2$  脱附峰。NO 在 Cr 含量不同的  $CrO_x/ZrO_2$  催化剂上的 TPD 结果极相似, 但随 Cr 含量增加, 高温脱氧峰的面积明显增加, 表明该峰是  $CrO_x$  晶格氧的脱出峰。NO 仅在 50~350 °C 出现一个脱附峰, 这个脱附峰与该脱附温区内的  $N_2$ 、 $N_2O$  和  $NO_2$  的脱附峰较吻合, 但在 500 °C 以上温区出现  $N_2$  和  $N_2O$  的脱附峰, 而没有出现 NO 脱附峰, 这表明 NO 在  $CrO_x/ZrO_2$  催化剂表面也存在两种与其作用不同的 NO 吸附物种, 与催化剂表面作用较强的 NO 吸附物种在程脱过程中主要发生了离解反应。

根据上述的实验事实及 Chin 等人对  $Ph/SiO_2$  催化剂的研究结果<sup>[9]</sup>, 我们认为 NO 在  $CrO_x/ZrO_2$  催化剂表面的热脱附及分解机理为(下标 a 表示吸附态):





在350℃以下温区内,没有出现O<sub>2</sub>脱附峰,这可能NO分解过程中产生的原子氧(O<sub>a</sub>)与催化剂表面吸附的NO物种形成NO<sub>2</sub>而脱附。

### 3.3 NO+CO反应性能

图4和图5分别为8%Cr/ZrO<sub>2</sub>和16%Cr/ZrO<sub>2</sub>催化剂上NO与CO的反应性能曲线。N<sub>2</sub>O作为CO或H<sub>2</sub>的还原NO的部分还原产物已有报道<sup>[6]</sup>。从图4和图5可以看出,CO和NO浓度随着反应温度提高而下降,NO浓度变化过程中出现一个最小值;而N<sub>2</sub>O浓度随温度变化有一个最大值,NO浓度达到最小与N<sub>2</sub>O浓度达到最大时的反应温度非常一致,N<sub>2</sub>生成的浓度则随反应温度提高而增加,至N<sub>2</sub>O完全消失时达到最大。这些结果表明,N<sub>2</sub>O是CO还原NO的中间产物,这与卢冠忠等人的研究结果<sup>[7]</sup>是一致的。NO与CO的反应中存在下述两步反应:



当反应温度低于290℃时,K<sub>1</sub>远大于K<sub>2</sub>,反应过程中以生成中间产物N<sub>2</sub>O为主;随着反应温度提高,K<sub>2</sub>增大,当反应温度达到340℃以上时,K<sub>2</sub>远大于K<sub>1</sub>,

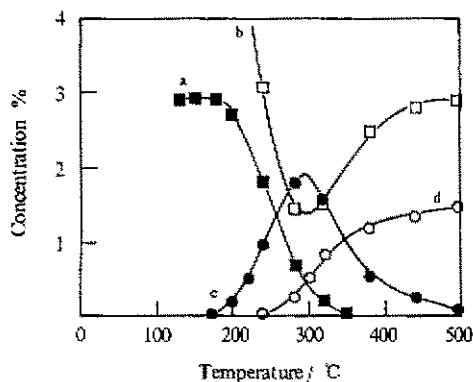


图4 8.0%Cr/ZrO<sub>2</sub>催化剂上NO的还原性能

Fig. 4 Reduction properties of NO on 8.0%Cr/ZrO<sub>2</sub>

a. CO; b. NO; c. N<sub>2</sub>O; d. N<sub>2</sub>

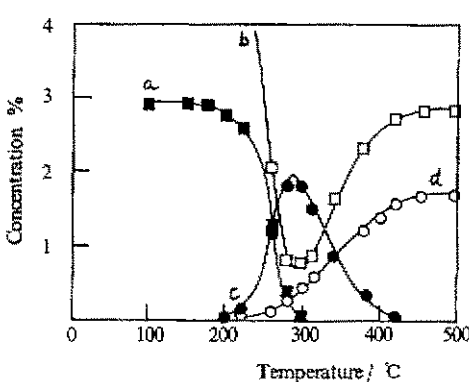


图5 16%Cr/ZrO<sub>2</sub>催化剂上NO的还原性能

Fig. 5 Reduction properties of NO on 16%Cr/ZrO<sub>2</sub>

a. CO; b. NO; c. N<sub>2</sub>O; d. N<sub>2</sub>

从图4和图5还可以看出,Cr负载量提高,NO与CO的反应活性也提高,CO完全氧化、中间产物N<sub>2</sub>O完全消失及N<sub>2</sub>浓度达到最大时的反应温度均下降。

## 参 考 文 献

- [1] Medaniel M P. *Adv. Catal.*, 1985, 33: 47
- [2] Ghiotti G, Garrone E, Zecchina A. *J. Mol. Catal.*, 1988, 46: 61
- [3] Zhou J R, Wang X Y, Zheng X M, et al. *Appl. Catal. A: General*, 1997, 162: 213

- [4] Cimino A, Cordischi D, De Rossi S, et al. *J. Catal.*, 1991, 127: 744
- [5] Chin A A, Bell A T. *J. Phys. Chem.*, 1983, 87: 3700
- [6] Kokes R J. *J. Phys. Chem.*, 1966, 70: 296
- [7] Lu Guanzhong (卢冠忠), Wang Ren (汪仁). *Chinese Rare Earth* (稀土), 1991, 9: 329

## Studies of the Dispersion State of $\text{CrO}_x$ on $\text{ZrO}_2$ and NO-CO Reaction on $\text{CrO}_x/\text{ZrO}_2$ Catalyst

Wang Yuejuan<sup>a, b</sup> Zhou Renxian<sup>a\*</sup> Zheng Xiaoming<sup>a</sup>

*(a. Institute of Catalysis, Zhejiang University, Hangzhou 310028)*

*(b. Department of Chemistry, Zhejiang Normal University, Jinhua 321004)*

**Abstract** The effect of  $\text{CrO}_x$  on resisting nodulizing of  $\text{ZrO}_2$  and the dispersion state of  $\text{CrO}_x$  have been studied using XRD and BET techniques. The results indicate that  $\text{CrO}_x$  is an effective antisintering agent for  $\text{ZrO}_2$ , and it also opposes the tetragonal  $\rightarrow$  monoclinic transition. The strong interaction between  $\text{CrO}_x$  and  $\text{ZrO}_2$  is beneficial to the dispersion of  $\text{CrO}_x$  on  $\text{ZrO}_2$  surface. The TPD-MS experiments of NO show that there are two types of adsorbed NO species which interact with  $\text{CrO}_x/\text{ZrO}_2$  catalyst in different strength. Dissociation of NO occurs in the process of temperature programmed desorption. The experiment indicates that  $\text{N}_2\text{O}$  is an intermediate of NO-CO reaction. At lower temperature large amount of  $\text{N}_2\text{O}$  will be produced while amount of  $\text{N}_2$  will be larger at higher temperature.

**Key words**  $\text{CrO}_x$ ,  $\text{ZrO}_2$ , NO, Temperature programmed desorption

\* To whom correspondence should be addressed.